

RETICULADOS, TEOREMAS DE MINKOWSKI REVISITADOS  
E TEOREMAS DE SOMAS DE QUADRADOS

## 1 Definições Iniciais

Os teoremas de Minkowski e Blichfield, bem como suas respectivas generalizações, tornam-se ferramentas poderosas quando consideramos transformações lineares aplicadas no conjunto de vetores inteiros  $\mathbb{Z}^n$ , isto é, conjuntos do tipo  $B\mathbb{Z}^n$ ,  $B \in \mathbb{R}^{n \times n}$ . Tais conjuntos, denominados reticulados (euclidianos), serão nosso objeto de estudo.

Sejam  $m \leq n$  vetores linearmente independentes  $\mathbf{a}_1, \dots, \mathbf{a}_m \in \mathbb{R}^n$ . Um *reticulado*  $\Lambda$  com base  $\{\mathbf{a}_1, \dots, \mathbf{a}_m\}$  é o conjunto de todas as combinações lineares inteiras de  $\mathbf{a}_i$ ,  $i = 1, \dots, m$ , isto é:

$$\Lambda = \{u_1\mathbf{a}_1 + \dots + u_m\mathbf{a}_m : u_1, \dots, u_m \in \mathbb{Z}\}. \quad (1)$$

O conjunto  $\{\mathbf{a}_1, \dots, \mathbf{a}_m\}$  é denominado uma *base* de  $\Lambda$ . A matriz  $A$  cujas colunas são os vetores  $\mathbf{a}_1, \dots, \mathbf{a}_m$  é dita uma *matriz geradora* de  $\Lambda$ . Durante o texto, representaremos também um reticulado gerado pela matriz  $A$  por  $\Lambda(A) = \Lambda(\mathbf{a}_1, \dots, \mathbf{a}_m) = \Lambda$ , intercambiando livremente as notações quando não houver ambiguidade. O número de vetores de uma base de  $\Lambda$  é chamado de *posto* ou *dimensão*. Caso  $m = n$ , dizemos que  $\Lambda$  possui *posto completo*. A partir de agora, trataremos apenas de reticulados de posto completo (apesar de reticulados de posto incompleto, definidos por projeções/interseções serem bastante estudados na teoria). Podemos re-escrever (1) matricialmente como

$$\Lambda(A) = A\mathbb{Z}^m = \{\mathbf{A}\mathbf{u} : \mathbf{u} \in \mathbb{Z}^m\}, \quad (2)$$

Dizemos que um conjunto  $M \subset \mathbb{R}^n$  é *discreto* se existe  $\varepsilon > 0$  tal que  $\mathbf{x} + B_2(\varepsilon) \cap \mathbf{y} + B_2(\varepsilon) = \emptyset$ . Da definição, é intuitivo que  $\Lambda$  seja um subgrupo aditivo e discreto do  $\mathbb{R}^n$ . O teorema abaixo mostra que esta condição é suficiente para caracterizar um reticulado. Ele encaixa-se no grupo de teoremas denominados por D. West como TONCAs (“The Obvious Necessary Condition is Also Sufficient”).

**Teorema 1.** *Um conjunto  $\Lambda \subset \mathbb{R}^n$  é um reticulado se, e somente se, é um subgrupo aditivo discreto de  $\mathbb{R}^n$ .*

Demonstraremos a versão do Teorema 1 para  $\Lambda$  de posto completo, a saber: Um conjunto  $\Lambda \subset \mathbb{R}^n$  não contido em nenhum subespaço  $(n - 1)$ -dimensional do  $\mathbb{R}^n$  é um reticulado de posto completo se, e somente se, é um subgrupo aditivo discreto de  $\mathbb{R}^n$ . A generalização para reticulados de posto incompleto é direta.

*Demonstração.* ( $\Rightarrow$ ) (*Easy*) É claro que para  $\mathbf{x}, \mathbf{y} \in \Lambda$ ,  $-\mathbf{x} \in \Lambda$  e  $\mathbf{x} + \mathbf{y} \in \Lambda$ . Para mostrar que  $\Lambda$  é discreto, considere primeiro  $\Lambda = \mathbb{Z}^n$ . Temos que para qualquer  $\varepsilon < 1$ ,  $\mathbf{x} + B_2(\varepsilon) \cap \mathbf{y} + B_2(\varepsilon) = \emptyset$  para todos  $\mathbf{x}, \mathbf{y} \in \mathbb{Z}^n$ ,  $\mathbf{x} \neq \mathbf{y}$ . Portanto, para um reticulado geral (gerado pela matriz  $A$ ) temos

$$A\mathbf{x} + AB_2(\varepsilon) \cap A\mathbf{y} + AB_2(\varepsilon) = \emptyset, \forall \mathbf{x}, \mathbf{y} \in \mathbb{Z}^n, \mathbf{x} \neq \mathbf{y}.$$

Mas  $AB_2(\varepsilon)$  é um elipsoide e portanto contém uma bola  $B_2(\varepsilon')$ , demonstrando a condição necessária.

( $\Leftarrow$ ) Assumimos agora que  $\Lambda$  seja um subgrupo aditivo e discreto do  $\mathbb{R}^n$ . Mostraremos que  $\Lambda$  é um reticulado construindo, indutivamente, uma base de vetores.

(i) Escolha do primeiro vetor: Tome  $\mathbf{a}_1$  com a propriedade de que o segmento de reta aberto  $\lambda\mathbf{a}_1$ ,  $\lambda \in (0, 1)$  não contenha nenhum outro ponto de  $\Lambda$ . A existência de  $\mathbf{a}_1$  é garantida pelo fato de que  $\Lambda$  é discreto.

(ii) Suponhamos que  $\mathbf{a}_1, \dots, \mathbf{a}_j$  foram escolhidos. Tome  $\mathbf{c}_{j+1} \notin \Lambda(\mathbf{a}_1, \dots, \mathbf{a}_j)$  e considere o paralelotopo fechado

$$\mathcal{P}_j = \{\alpha_1\mathbf{a}_1 + \dots + \alpha_j\mathbf{a}_j + \alpha_{j+1}\mathbf{c}_{j+1} : \alpha_i \in [0, 1]^n\}.$$

Como  $\Lambda$  é discreto e  $\mathcal{P}_j$  é limitado,  $\Lambda \cap \mathcal{P}_j$  é finito. Escolhemos para o próximo vetor  $\mathbf{a}_{j+1}$  o elemento de  $\Lambda \cap \mathcal{P}_j$  tal que  $\alpha_{j+1} > 0$  seja mínimo. (iii) Considere que  $n$  vetores foram escolhidos. É claro que  $\mathbf{a}_1, \dots, \mathbf{a}_n$  são LI e, como  $\Lambda$  é um subgrupo,  $\Lambda(\mathbf{a}_1, \dots, \mathbf{a}_n) \subset \Lambda$ . Ademais, afirmamos que todo ponto de  $\Lambda$  pode ser escrito como combinação inteira de  $\mathbf{a}_1, \dots, \mathbf{a}_n$ . Com efeito, escrevemos qualquer ponto  $\mathbf{x} \in \Lambda$  como combinação (possivelmente não-inteira) dos vetores  $\mathbf{a}_i$ , isto é:

$$\mathbf{x} = u_1\mathbf{a}_1 + \dots + u_n\mathbf{a}_n, u_i \in \mathbb{R}.$$

Suponha que  $u_n$  não seja inteiro e considere  $\bar{\mathbf{x}} = [u_1]\mathbf{a}_1 + \dots + [u_n]\mathbf{a}_n \in \Lambda$ .

$$\mathbf{z} := \mathbf{x} - \bar{\mathbf{x}} = (u_1 - [u_1])\mathbf{a}_1 + \dots + ([u_n] - u_n)\mathbf{a}_n \in \Lambda.$$

À partir de  $\mathbf{z}$ , obteríamos um vetor em  $\mathcal{P}_n$  com  $\alpha_n$  menor que o mínimo possível, a menos que  $u_n = [u_n]$  (ou  $u_n$ ) seja inteiro. Continuando esse argumento, mostramos que  $u_{n-1}, \dots, u_1 \in \mathbb{Z}$ .  $\square$

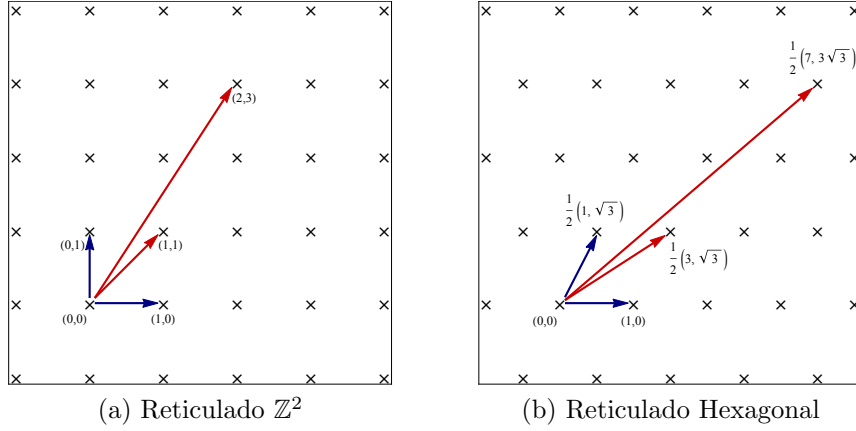


Figura 1: Bases distintas para o mesmo reticulado em cada figura

Um reticulado  $\Lambda(A)$  possui infinitas bases, como ilustrado na Figura 1. A caracterização de bases distintas é feita a partir de matrizes em  $Gl_n(\mathbb{Z})$ .

**Proposição 1.1.**  $\Lambda(A) = \Lambda(B)$  se, e somente se,  $A = BU$ , em que  $U \in Gl_n(\mathbb{Z}^n)$ .

*Demonstração.* Sejam  $\mathbf{b}_1, \dots, \mathbf{b}_n$  e  $\mathbf{a}_1, \dots, \mathbf{a}_n$  as colunas de  $A$  e  $B$ . Como  $\Lambda(A) \subset \Lambda(B)$ , então  $\mathbf{a}_i = B\mathbf{u}_i$ ,  $\mathbf{u}_i \in \mathbb{Z}^n$ , o que implica  $A = BU$ ,  $U \in \mathbb{Z}^{n \times n}$ . Analogamente, temos  $B = AV$ ,  $V \in \mathbb{Z}^{n \times n}$ , o que implica  $\det B = \det B \det U \det V \Rightarrow \det U \det V = 1$ . Assim  $U$  e  $V$  são unimodulares e, de fato, não é difícil ver que  $V = U^{-1}$ .  $\square$

**Exemplo 1.** Na Figura 1 estão ilustrados dois reticulados contidos no plano e duas bases distintas para cada um deles. As matrizes geradoras associadas às diferentes bases do reticulado  $\mathbb{Z}^2 = \{(u_1, u_2) : u_1, u_2 \in \mathbb{Z}\}$  em 1a são

$$A = \begin{pmatrix} 1 & 0 \\ 0 & 1 \end{pmatrix} \text{ e } \overline{B} = \begin{pmatrix} 1 & 1 \\ 2 & 3 \end{pmatrix}.$$

No caso do reticulado hexagonal, 1b, temos

$$A = \begin{pmatrix} 1 & 1/2 \\ 0 & \sqrt{3}/2 \end{pmatrix} \text{ e } \overline{B} = \begin{pmatrix} 3/2 & 7/2 \\ \sqrt{3}/2 & 3\sqrt{3}/2 \end{pmatrix} = \begin{pmatrix} 1 & 0 \\ 1/2 & \sqrt{3}/2 \end{pmatrix} \begin{pmatrix} 1 & 1 \\ 2 & 3 \end{pmatrix}.$$

Em ambos os casos, a matriz mudança de base unimodular  $U$  é dada por

$$U = \begin{pmatrix} 1 & 1 \\ 2 & 3 \end{pmatrix}.$$

Um corolário do teorema acima é que qualquer matriz geradora para o mesmo reticulado possui o mesmo determinante, em módulo. Assim, definimos  $\det \Lambda := |\det B|$  em que  $B$  é qualquer matriz geradora. O determinante  $\det \Lambda$  é um importante invariante de um reticulado.

## 1.1 Sub-reticulados

Sejam  $\Lambda, \Lambda' \subset \mathbb{R}^n$  dois reticulados de mesmo posto. Se  $\Lambda' \subseteq \Lambda$ , dizemos que  $\Lambda'$  é um *sub-reticulado* de  $\Lambda$ . O *índice* de  $\Lambda'$  em  $\Lambda$  definido como a  $\det \Lambda' / \det \Lambda$ . Como qualquer ponto de  $\Lambda'$  é também um ponto de  $\Lambda$ , se  $\Lambda = \Lambda(A)$  e  $\Lambda' = \Lambda(B)$ , então as colunas de  $B$  podem ser escrita como combinações inteiras das colunas de  $A$ . Assim  $B = AM$ ,  $M \in \mathbb{Z}^n$ , mostrando que o índice de  $\Lambda'$  em  $\Lambda$  é sempre um número inteiro.

Utilizando a caracterização de  $\Lambda'$  e  $\Lambda$  como grupos abelianos, é possível definir o quociente  $\Lambda/\Lambda'$  como

$$\frac{\Lambda}{\Lambda'} = \{\Lambda' + \mathbf{x} : \mathbf{x} \in \Lambda\}.$$

Dizemos que  $\mathbf{x}, \mathbf{y} \in \Lambda$  estão na mesma classe de equivalência se  $\mathbf{x} + \Lambda = \mathbf{y} + \Lambda$ , o que por sua vez, ocorre se, e somente se,  $\mathbf{x} - \mathbf{y} \in \Lambda'$ . A cardinalidade do grupo quociente  $|\Lambda/\Lambda'|$  é igual ao número de classes de equivalências distintas em  $\Lambda$  com respeito a  $\Lambda'$ . Temos o seguinte resultado:

**Proposição 1.2.** *A cardinalidade do grupo quociente  $\Lambda/\Lambda'$  é igual ao índice de  $\Lambda'$  em  $\Lambda$ .*

*Demonstração.* Forma Normal de Smith. Sejam  $A$  e  $B$  matrizes geradoras para  $\Lambda$  e  $\Lambda'$ , com  $A = BM$ ,  $M \in \mathbb{Z}^{n \times n}$ . A Forma Normal de Smith de  $M$  é dada por  $M = UDV$ ,  $U, V \in \text{Gl}_n(\mathbb{Z})$ . Temos, assim

$$A = BUDV \Rightarrow AV^{-1} = BUD \Rightarrow A' = B'D$$

em que  $A' = AV^{-1}$  e  $B' = BU$  são matrizes geradoras para  $\Lambda$  e  $\Lambda'$ , pela Proposição 1.1. As bases  $A'$  e  $B'$  satisfazem  $\mathbf{a}'_i = d_i \mathbf{b}_i$ . Tome um vetor  $\mathbf{x} = u_1 \mathbf{a}'_1 + \dots + u_n \mathbf{a}'_n \in \Lambda$ . Provaremos que  $\mathbf{x}$  está na mesma classe de equivalência de  $r_1 \mathbf{a}'_1 + \dots + r_n \mathbf{a}'_n$ , em que  $r_i$  é o resto da divisão de  $u_i$  por  $d_i$  (isto é,  $u_i = q_i d_i + r_i$ ,  $0 \leq r_i < d_i$ ). Com efeito,

$$\begin{aligned} \mathbf{x} - (r_1 \mathbf{a}'_1 + \dots + r_n \mathbf{a}'_n) &= q_1 d_1 \mathbf{a}'_1 + \dots + q_n d_n \mathbf{a}'_n \\ &= q_1 \mathbf{b}'_1 + \dots + q_n \mathbf{b}'_n \in \Lambda'. \end{aligned}$$

Assim, as únicas classes de equivalências são  $r_1 \mathbf{a}'_1 + \dots + r_n \mathbf{a}'_n + \Lambda$ , o que nos dá  $d_1 d_2 \dots d_n = |\det B|$  possibilidades, todas elas distintas.  $\square$

A consequência geométrica é dada a seguir:

**Corolário 1.** *A cardinalidade do quociente  $\Lambda/\Lambda'$  é igual à quantidade de pontos de  $\Lambda$  no paralelepípedo aberto*

$$\mathcal{P}(A) = \{\alpha_1 \mathbf{a}_1 + \dots + \alpha_n \mathbf{a}_n : \alpha_i \in [0, 1)\},$$

isto é  $\Lambda/\Lambda' = \#(\mathcal{P}(A) \cap \Lambda)$ .

*Demonstração.* Uma consequência imediata da Seção 5.2, da segunda aula, generalizada para qualquer reticulado  $\Lambda$ .  $\square$

Seja  $m \in \mathbb{N}$ . A quantidade de números de sub-reticulados de  $\Lambda$  com um dado índice  $m$  é denotada por  $L_N(m)$ . Pode-se mostrar que  $L_N(m)$  é finita e é uma função multiplicativa (isto é  $L_N(m_1 m_2) = L_N(m_1) L_N(m_2)$  sempre que  $\gcd(m_1, m_2) = 1$ ). Fórmulas para  $L_N(m)$  podem ser encontradas em [New72, Cap. 2].

## 1.2 Teoremas de Minkowski e Blichfeldt

Como  $\Lambda(A) = AZ^n$ , as versões gerais dos Teoremas de Minkowski podem ser facilmente enunciadas na linguagem de reticulados. Recapitulando a aula anterior:

**Teorema 2.** *Se  $K \subset \mathbb{R}^n$  é um conjunto limitado tal que  $0 < \text{vol } K < \infty$ , então*

$$\lim_{r \rightarrow \infty} \frac{\#(K \cap \Lambda)}{\text{vol } rK} = \frac{1}{\det \Lambda}.$$

**Teorema 3.** *Se  $K$  é um conjunto fechado, limitado, e  $\text{vol } K \geq \det \Lambda$ , então existem  $\mathbf{x}, \mathbf{y} \in K$ ,  $\mathbf{x} \neq \mathbf{y}$ , tais que  $\mathbf{x} - \mathbf{y} \in \Lambda$ .*

**Teorema 4.** *Se  $K$  é um corpo convexo fechado, centralmente simétrico, e  $\text{vol } K \geq \det A$ , então existem  $\mathbf{x}, \mathbf{y} \in K$ ,  $\mathbf{x} \neq \mathbf{y}$ , tais que  $\mathbf{x} - \mathbf{y} \in \Lambda$ .*

## 2 Primeiro Mínimo

Seja  $K$  um corpo convexo fechado, centralmente simétrico, e  $F_K(\mathbf{x})$  a sua função de *gauge*. Definimos o primeiro mínimo de  $\Lambda$  com relação a  $K$  como:

$$\lambda_{1,K}(\Lambda) = \min_{\mathbf{x} \in \Lambda \setminus \{\mathbf{0}\}} F_K(\mathbf{x}). \quad (3)$$

Encontrar  $\lambda_{1,K}(\Lambda)$  possui interesse tanto teórico como prático, por exemplo na proposição e análise de esquemas criptográficos (falaremos sobre isso mais

para frente no curso, e nos trabalhos finais). Um caso bastante especial que será estudado mais para frente é quando  $K = B_2(1)$  é a esfera euclidiana em  $\mathbb{R}^n$  com raio 1. O Teorema de Minkowski para Corpos Convexos 4 nos dá uma estimativa para o primeiro mínimo de  $\Lambda$ :

**Teorema 5.** *Seja  $K$  um corpo convexo fechado centralmente simétrico e  $\Lambda \subset \mathbb{R}^n$  um reticulado.*

$$\lambda_{1,K}(\Lambda) \leq 2 \left( \frac{\det \Lambda}{\text{vol } K} \right)^{1/n}. \quad (4)$$

*Demonstração.* Se  $r = 2 \left( \frac{\det \Lambda}{\text{vol } K} \right)^{1/n}$ , então  $\text{vol } rK = 2^n \det \Lambda$ . Pelo Teorema 4, existe  $\mathbf{x} \in rK \cap \Lambda$ . Isso significa que existe  $\mathbf{x} \in \Lambda$  com  $F_K(\mathbf{x}) \leq r$ , de onde segue o limitante.  $\square$

Quando  $K = B_p(1) = \{\mathbf{x} \in \mathbb{R}^n : |x_1|^p + \dots + |x_n|^p \leq 1\}$  é a bola unitária na norma  $\ell_p$  um limitante sutilmente mais fraco que (4), porém bastante útil, pode ser derivado:

**Teorema 6** (Minkowski para norma  $\ell_p$ ). *Seja  $\Lambda \subset \mathbb{R}^n$  um reticulado de posto  $n$ , e  $1 \leq p < \infty$ . Existe um ponto não-nulo  $\mathbf{x} \in \Lambda$  tal que*

$$\|\mathbf{x}\|_p \leq n^{1/p} (\sqrt{\det \Lambda})^{1/n} \quad (5)$$

*Demonstração.* Sabemos que  $\|\mathbf{x}\|_p \leq n^{1/p} \|\mathbf{x}\|_\infty$ , e portanto vale a inclusão  $B_\infty(r) \subseteq B_p(n^{1/p}r)$ . Tome  $r = \sqrt{\det \Lambda}^{1/n}$ . O volume de  $B_\infty(r)$  é o volume do cubo de lado  $2r$  centrado em  $\mathbf{x}$ , dado por

$$\text{vol } B_\infty(r) = 2^n r^n = 2^n \sqrt{\det \Lambda}.$$

Assim  $\text{vol } B_p(n^{1/p}r) \geq 2^n \sqrt{\det \Lambda}$  e pelo Corolário 1, existe um ponto  $\mathbf{x} \in \Lambda \cap B_p(n^{1/p}r)$ , de onde vem que

$$\|\mathbf{x}\|_p \leq n^{1/p} (\sqrt{\det \Lambda})^{1/n}.$$

$\square$

**Observação 1.** *De fato vale a desigualdade estrita  $\text{vol } B_p(1) < n^{n/p} 2^n = \text{vol } B_\infty(n^{1/p})$ . Assim a desigualdade (5) pode ser substituída pela desigualdade estrita (veja também Exercício 1).*

### 3 Somas de Quadrados

Os teoremas acima parecem, à primeira vista, versar apenas sobre propriedades extremamente específicas e geométricas de reticulados euclidianos. Entretanto, já mostramos na terceira aula uma aplicação do Teorema de Minkowski para Corpos Convexos a aproximações diofantinas simultâneas (ou produtos de formas lineares). Apresentaremos aqui uma aplicação à Teoria dos Números, em particular aos teoremas dos dois e quatro quadrados.

#### 3.1 Teorema dos Dois Quadrados

**Teorema 7** (dos Dois Quadrados). *Seja  $p \in \mathbb{N}$  um número primo. Então  $p = a^2 + b^2$ , para  $a, b \in \mathbb{N}$  se, e somente se,  $p = 2$  ou  $p \equiv 1 \pmod{4}$ .*

A condição necessária é simples. Com efeito, um inteiro  $a^2$  só pode ser congruente a 0 ou 1 módulo 4. Então se  $p$  pode ser representado como soma de 2 quadrados,  $p = 2$  ou  $p$  é um primo ímpar congruente a 1 módulo 4. Para uma demonstração “clássica” da condição suficiente veja [IN91]. Aqui mostraremos como o teorema segue como uma aplicação do Teorema de Minkowski. Precisamos antes de um simples fato da Teoria dos Números, que é uma consequência de resultados mais gerais acerca de resíduos quadráticos.

**Lema 1.** *Se  $p$  é um primo tal que  $p \equiv 1 \pmod{4}$ , então existe  $x$  tal que  $x^2 \equiv -1 \pmod{p}$ .*

*Demonstração.* Para qualquer  $i \in \{1, 2, \dots, p-1\}$ , existe  $a_i \neq i$  tal que  $ia_i \equiv -1 \pmod{p}$ . Além disso, para  $i \neq j$ ,  $a_i \neq a_j$ . Assim, agrupando os termos, temos

$$1a_1 \times 2a_2 \times \dots \times \left(\frac{p-1}{2}\right) a_{\frac{p-1}{2}} \equiv \underbrace{(-1) \times (-1) \dots \times (-1)}_{(p-1)/2 \text{ vezes}} \equiv (-1)^{\frac{p-1}{2}}.$$

Mas o lado esquerdo da igualdade acima é igual a  $(p-1)! \equiv -1 \pmod{p}$  (por quê?). Assim, temos  $(-1)^{\frac{p-1}{2}} \equiv -1 \pmod{p}$ , o que é absurdo. Logo, existe  $x$  tal que  $x^2 \equiv -1 \pmod{p}$ .  $\square$

*Demonstração do Teorema 3:* Seja  $x$  tal que  $x^2 \equiv -1 \pmod{p}$ . Seja  $\Lambda$  o reticulado gerado pela matrix

$$A = \begin{pmatrix} p & x \\ 0 & 1 \end{pmatrix}$$

Tome agora qualquer elemento em  $(pu_1 + u_2x, u_2) \in \Lambda$ ,  $u_1, u_2 \in \mathbb{Z}$ . Temos:

$$\|(pu_1 + u_2x, u_2q)\|_2^2 = (pu_1 + u_2x)^2 + (u_2)^2 \equiv 0 \pmod{q},$$

ou seja, a norma ao quadrado de todos os elementos de  $\Lambda$  é um múltiplo de  $p$ . Pelo Teorema 4, existe um elemento não-nulo  $\mathbf{y} = (y_1, y_2) \in \Lambda$  cujo quadrado da norma satisfaz

$$\|\mathbf{y}\|_2^2 \leq 2^2 \frac{\det \Lambda}{\text{vol } B_2(1)} \leq \frac{4p}{\pi} < 2p$$

Como a norma de  $\mathbf{y}$  é múltipla de  $p$ , temos que ter necessariamente  $y_1^2 + y_2^2 = p$ , finalizando a prova do teorema.  $\square$

Utilizando a identidade

$$(a_1^2 + b_1^2)(a_2^2 + b_2^2) = (a_1b_1 + a_2b_2)^2 + (a_1b_2 - a_2b_1)^2$$

vemos que se dois números são representados como soma de dois quadrados, então o seu produto também pode ser representado de tal maneira<sup>1</sup>. Assim, pode-se demonstrar a versão completa do Teorema dos Dois quadrados

**Teorema 8** (dos Dois Quadrados Completo). *Dado um número inteiro  $m$ , existem  $a, b$  tais que  $m = a^2 + b^2$  se, e somente se,  $m = ck^2$ , em que  $c \in \mathbb{N}$  não possui nenhum fator primo congruente a 3 módulo 4.*

### 3.2 Teorema dos Quatro Quadrados

O Teorema dos Quatro Quadrados (de Langrage) afirma que todo número inteiro positivo pode ser escrito como a soma de quatro quadrados. O Teorema 5 para o primeiro mínimo de  $\Lambda$  nos auxilia a demonstrar a versão do teorema quando  $p$  é um número primo. Primeiramente, precisamos de um lema auxiliar com o mesmo “sabor” do Lema 1.

**Lema 2.** *Seja  $p$  um número primo maior que 2. Existem  $w, z$  tais que  $w^2 + z^2 \equiv -1 \pmod{p}$ .*

*Demonstração.* Seja o conjunto

$$S_w = \left\{ w^2 \pmod{p} : w = 0, \dots, \frac{p-1}{2} \right\}.$$

---

<sup>1</sup>Uma maneira esclarecedora de demonstrar a identidade sem “abrir os dois lados” é considerar o conjunto de inteiros de Gauss  $\mathbb{Z}[i] = \{a + bi : a, b \in \mathbb{Z}\}$ , em que  $i^2 = -1$ . A norma de um ponto em  $\mathbb{Z}[i]$  é dada por  $a^2 + b^2 = (a + bi)(a - bi)$ . A identidade é equivalente à multiplicatividade da norma, i.e.,  $N(a_1 + ib_1).N(a_2 + ib_2) = N((a_1 + ib_1)(a_2 + ib_2))$ .

Afirmamos que  $\#S_w = p + 1/2$ . De fato, tomando dois pontos  $0 \leq w_1, w_2 \leq (p-1)/2$  com  $w_1 > w_2$  temos  $w_1^2 \not\equiv w_2^2 \pmod{p}$ , caso contrário,

$$w_1^2 - w_2^2 = (w_1 + w_2)(w_1 - w_2) \equiv 0 \pmod{p},$$

e portanto  $p$  deveria dividir  $w_1 + w_2$  ou  $w_1 - w_2$ , o que não pode ocorrer pois ambos os termos estão entre 0 e  $p-1$ . Assim,  $0^2, 1^2, 2^2, \dots, (p-1)/2^2$  estão em classes distintas módulo  $p$  e portanto  $\#S_w = (p+1)/2$ . De maneira bastante análoga, mostramos que o conjunto

$$S_z = \left\{ -1 - z^2 \pmod{p} : w = 0, \dots, \frac{p-1}{2} \right\}$$

possui cardinalidade  $(p+1)/2$ . Como  $\#S_w + \#S_z = p+1$ , deve existir um elemento em  $\#S_w \cap \#S_z$ , dando-nos os números  $w$  e  $z$  desejados.  $\square$

**Teorema 9.** *Seja  $p$  um número primo. Existe  $a, b, c, d$  tais que  $a^2 + b^2 + c^2 + d^2 = p$ .*

*Demonstração.* Se  $p = 2$  o teorema é trivial. Se  $p > 2$ , sejam  $w$  e  $z$  dados pelo lema acima. Como é esperado, construímos um reticulado 4-dimensional e aplicamos o teorema de Minkowski. O reticulado considerado é o dado pela matriz

$$A = \begin{pmatrix} p & 0 & w & -z \\ 0 & p & z & w \\ 0 & 0 & 1 & 0 \\ 0 & 0 & 0 & 1 \end{pmatrix}$$

A norma ao quadrado de um vetor  $A\mathbf{u}$ ,  $\mathbf{u} \in \mathbb{Z}^4$  é dada por

$$\|A\mathbf{u}\|^2 = u_3^2 + u_4^2 + (pu_2 + zu_3 + wu_4)^2 + (pu_1 + wu_3 - zu_4)^2.$$

Com a restrição de que  $w^2 + z^2 \equiv -1 \pmod{p}$  não é difícil ver que  $\|A\mathbf{u}\|^2 \equiv 0 \pmod{p}$ . Aplicando o Teorema 5, existe um vetor não nulo  $\mathbf{y}$  com norma

$$\|\mathbf{y}\|^2 \stackrel{(a)}{\leq} 4 \left( \frac{\det \Lambda}{(\pi^2/2)} \right)^{1/2} = \frac{4\sqrt{2}p}{\pi} < 2p,$$

em que  $\pi^2/2$  é o volume da bola unitária em  $\mathbb{R}^4$ . Assim  $\|\mathbf{y}\|^2 = p$ , provando o teorema.  $\square$

Para enunciar a versão completa do Teorema dos Quatro Quadrados, precisamos da Identidade de Euler

$$\begin{aligned} (a_1^2 + b_1^2 + c_1^2 + d_1^2)(a_2^2 + b_2^2 + c_2^2 + d_2^2) = \\ (a_1a_2 + b_1b_2 + c_1c_2 + d_1d_2)^2 + (a_1b_2 - b_1a_2 + c_1d_2 - d_1c_2)^2 + \\ (a_1c_2 - b_1d_2 - c_1a_2 + d_1b_2)^2 + (a_1d_2 + b_1c_2 - c_1b_2 - d_1a_2)^2. \end{aligned}$$

Novamente, é muito simples demonstrar a identidade acima simplesmente expandindo os dois lados. Uma demonstração mais esclarecedora é à partir dos inteiros de Lipschitz

$$\mathcal{L}(i, j, k) = \{a + bi + cj + dk : a, b, c, d \in \mathbb{Z}\},$$

em que  $i, j, k$  são as unidades quaternionicas  $i^2 = j^2 = k^2 = ijk = -1$ . A norma de um elemento em  $\mathcal{L}(i, j, k)$  é dada por

$$N(a + bi + cj + dk) = a^2 + b^2 + c^2 + d^2 = (a + bi + ci + di)(a - bi - ci - di).$$

A identidade de Euler é equivalente à multiplicatividade da norma,  $N(z_1 z_2) = N(z_1)N(z_2)$ , para  $z_1, z_2 \in \mathcal{L}(i, j, k)$ .

A Identidade de Euler implica que se dois números são representados como somas de dois quadrados, então o produto deles também é, de onde deduzimos imediatamente

**Teorema 10.** *Seja  $m$  um número inteiro. Existem  $a, b, c, d$  tais que*

$$a^2 + b^2 + c^2 + d^2 = m.$$

Outros teoremas considerando somas de quadrados e formas quadráticas são possíveis. Por exemplo, o seguinte teorema generaliza o dos dois quadrados, versando sobre primos escritos na forma  $a^2 + mb^2$ .

**Teorema 11.** *Seja  $p$  um primo  $m \in \mathbb{Z}^n$  tal que  $m$  é um resíduo quadrático módulo  $p$  (isto é, existe  $x$  tal que  $x^2 \equiv -m \pmod{p}$ ). Existem  $a, b, k$  tais que  $a^2 + mb^2 = kp$ , com  $1 \leq k \leq \lfloor 4\sqrt{m}/\pi \rfloor$ .*

A demonstração, como esperado, utiliza um reticulado 2-dimensional conveniente.

**Exercício 1.** Aprimore o limitante do Teorema 2, utilizando a fórmula de volume para a bola na norma  $l_p$ :

$$\text{vol } B_p(r) = 2^n r^n \frac{\Gamma\left(1 + \frac{1}{p}\right)^n}{\Gamma\left(1 + \frac{n}{p}\right)}.$$

Compare com o Teorema 2 em termos assintóticos.

Dica: Utilize a aproximação de Stirling  $\Gamma(s) \approx \sqrt{2\pi} e^{-s} s^{s-1/2}$ .

**Exercício 2.** Seja  $p$  um primo e  $2n + 1$  um número ímpar. Prove que existe  $0 < m < p^{2n}$  tal que

$$mp = a^{2n+1} + b^{2n+1},$$

com  $a$  e  $b$  naturais.

**Exercício 3.** Utilizando a nossa demonstração do Teorema 3, encontre  $a$  e  $b$  tais que  $a^2 + b^2 = p$  para  $p = 29$ ,  $p = 252097800629$  e  $p = 2760727302649$ . Dica: utilize rotinas computacionais para encontrar vetores curtos em um reticulado.

**Exercício 4.** Demonstre o Teorema 8.

**Exercício 5.** Demonstre o Teorema 11. É possível melhorar o limitante para o múltiplo  $k$ ?

## Referências

- [IN91] H. L. Montgomery I. Niven, H. S. Zuckerman. *An Introduction to The Theory of Numbers*. Wiley, 5 edition, 1991.
- [New72] M. Newman. *Integral Matrices*. Academic Press, 1972.